

Plan du montage

MP15 – Production et mesure de champs magnétiques

Sandrine Guerraud et Emmanuel Guilliaud

8 février 2013

Références

- [1] P. BRANDORIS, L. DOUCHET et M. SAUZEAUX, *Electrotechnique : conversion de puissance PSI*, Bréal (2004).
- [2] L. QUARANTA et J.M. DONNINI, *Dictionnaire de Physique Expérimentale, tome 4 : électricité et applications*, Pierton (2004).
- [3] G. GARIN, *Magnétisme : statique, induction et milieux*, Ellipses (1999).
- [4] J. PEREZ et al., *Physique MPSI - PCS1 PTSI* (collection Cap prépa), Pearson Education (2009).

Remarques issues des rapports de jury

« Cette année encore, l'utilisation de la sonde à effet Hall a été mieux maîtrisée et les expériences présentées plus variées. Les différentes stratégies de production de champ magnétique peuvent être mises en regard des applications éventuelles. » (2012)

« Cette année, l'utilisation de la sonde à effet Hall a été mieux maîtrisée et les expériences présentées plus variées. » (2011)

« La sonde à effet Hall est souvent le seul instrument de mesure présenté dans ce montage. Trop de candidats ignorent son principe de fonctionnement. D'autre part, les mesures de champs magnétiques ne sont pas limitées à ceux qui règnent dans l'entrefer d'un électro-aimant... » (2010)

« La sonde à effet Hall est souvent le seul instrument de mesure présenté dans ce montage. Trop de candidats ignorent son principe de fonctionnement. » (2009)

« Il est nécessaire de bien maîtriser le maniement de la sonde à effet Hall et pour cela connaître son principe de fonctionnement. » (2008)

« La maîtrise du maniement de la sonde de Hall et une connaissance sommaire de son principe de fonctionnement sont indispensables. » (2007)

« L'ordre de grandeur de la composante horizontale du champ magnétique terrestre être connu. Il en est de même de l'existence d'un décalage systématique du zéro d'une sonde à effet Hall également. » (2005)

Table des matières

1	Production de champs magnétiques	2
1.1	Champs fixes	2
1.1.1	Aimant permanent	2
1.1.2	Bobine	2
1.1.3	Electroaimant [2] (p. 171)	3
1.2	Champs tournants [1, 2]	5
2	Mesure de champs magnétiques	5
2.1	Sonde à effet Hall	7
2.2	Fluxmètre	9

Figure 1. Observation de l'allure des lignes de champ du champ magnétique créé par deux aimants permanents.
 (a) Aimant « en U ».
 (b) Aimant droit.

Les différentes aiguilles s'orientent suivant les lignes du champ magnétique (cf. fig.1).

- || **Expérience.** Mesure du champ au testimètre.
- || Trouve $B_{\text{airmax}} \approx 5 \text{ mT}$. L'ordre de grandeur typique des champs créés par des aimants permanents est de $10^{-3} \text{ à } 10^{-2} \text{ T}$.

1.1.2 Bobine

En réinjectant dans l'équation:

$$\frac{1}{\mu_0 \cdot \mu_r} \cdot \frac{B \cdot S}{S} \cdot L + \frac{B}{\mu_0} \cdot e = N \cdot I,$$

soit:

$$B = \frac{\mu_0 \cdot N \cdot I}{e + \mu_r \cdot S}$$

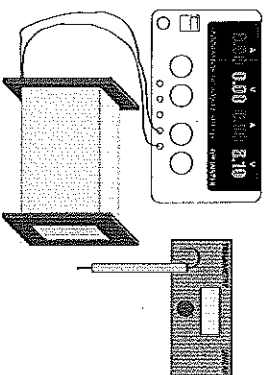


Figure 2. Bobine alimentée en courant continu.

Expérience. Pour $I = 0$ et $I \neq 0$, mesure de B au teslamètre Unilab. (bobines de 1000 spires, $L = 47,81$ mH, $R = 8,75 \Omega$)

On trouve : $B_{=0} = 0$ T et $B_{>0} = 27$ mT. On peut créer un champ B grâce à un courant.

Expérience. Même que précédemment, ajout d'un noyau de fer doux dans la bobine et mesure de B . $B_{\text{entre}} = 19$ mT, $B_{\text{ext}} = 11$ mT. On constate que le champ mesuré à la sortie du noyau est plus intense alors que légèrement au dessus, il est plus faible. Il y a eu canalisation des lignes de champs. Nous allons maintenant voir comment mettre à profit ce système de canalisation des lignes de champ pour créer des champs B localisés intenses.

1.1.3 Electroaimant [2] (p. 171)

Afin de comprendre le fonctionnement d'un électroaimant, nous avons monté un électroaimant « maison ». Pour cela, deux bobines de 1000 spires sont placées sur un noyau en U en fer doux, puis deux noyaux tronconiques en fer doux sont fixés au sommet afin d'assurer une bonne canalisation des lignes de champ. On note e l'entrefer de l'électroaimant. N le nombre total de spires, L la longueur du noyau, s la section du noyau, μ le niveau de l'entrefer et I l'intensité.

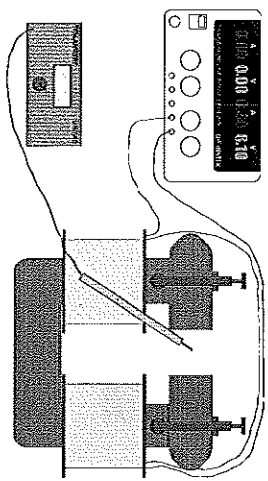


Figure 3. Electroaimant rudimentaire.

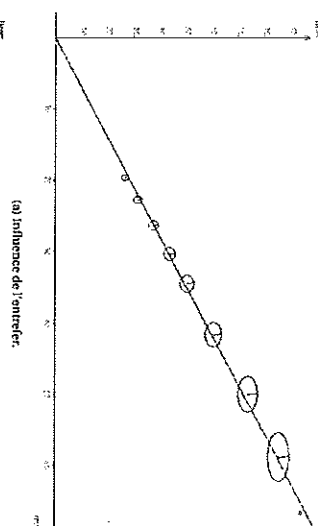
Par conservation du flux magnétique ($\nabla \cdot (\vec{B}) = 0$), soit B_m le champ à l'intérieur du noyau et $B_{\text{ext}} = B$ le champ dans l'entrefer, il vient : $B_m \cdot S = B_{\text{ext}} \cdot s$. En appliquant le théorème d'Amperé, on trouve : $H_{\text{int}} \cdot L + H_{\text{ext}} \cdot e = N \cdot I$. On suppose que la perméabilité magnétique relative μ_r est constante, d'où : $B_m = \mu_0 \mu_r \cdot H_{\text{int}}$. De plus, l'air dans l'entrefer est assimilé au vide d'où $B = \mu_0 \cdot H_{\text{ext}}$.

On trace $B = f(\frac{1}{L})$ (cf. fig. 4).

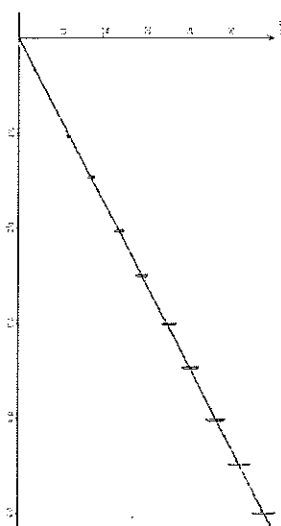
$$B = \frac{\mu_0 \cdot N \cdot I}{e + \mu_r \cdot S}$$

Expérience. A $I = 0,50$ A fixé, on mesure avec le teslamètre Unilab l'évolution de B suivant la longueur de l'entrefer. Pour éviter une erreur systématique lors de la mesure du champ, on mesure B_+ et B_- en inversant les bornes de l'alimentation et on fait une moyenne de ces deux valeurs.

■



(a) Influence de l'entrefer.



(b) Influence du courant.

La régression permet de remonter à μ_0 , on obtient $\mu_0 = 1,556 \cdot 10^{-6} \pm 0,013 \cdot 10^{-6} \text{ H.m}^{-1}$ ou $\mu_0^{\text{théorique}} = 1,257 \cdot 10^{-6} \text{ H.m}^{-1}$. On trouve une valeur du bon ordre de grandeur mais la valeur théorique n'est pas dans nos barres d'erreur. Les pertes de flux magnétique auraient plutôt tendance à nous conduire à une valeur plus faible que la valeur théorique. Peut être que l'une des bobines est endommagée, diminuant ainsi le nombre N de spires.

■

Expérience. A = 2,5 cm fixé, on mesure au testmètre Unilab l'évolution de B avec 1. On fait là encore la moyenne de B_x et B_y .

On trouve bien une loi linéaire entre B et 1, B = a · 1 avec $a = 117,5 \pm 0,5 \text{ T} \cdot \text{A}^{-1}$. On peut aussi remonter à μ_0 . On obtient : $\mu_0 = 1,468 \cdot 10^{-6} \pm 0,059 \cdot 10^{-6} \text{ H} \cdot \text{m}^{-1}$. Là encore, la valeur théorique n'est pas dans les barres d'erreur. Par contre, les deux valeurs que nous avons obtenues sont très proches et donc cohérentes.

Un électroaimant de laboratoire ressemble en fait à ceux de la figure 5.

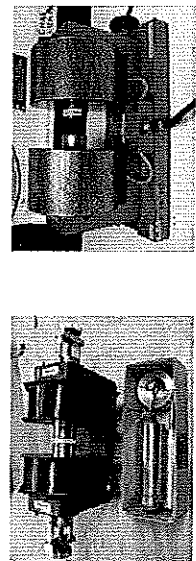


Figure 5. Electroaimants de la collection de Physique de l'ENS de Lyon. On reconnaît la carcasse et les bobinages (masqués sur le modèle de droite). © Base de données de la collection de Physique de l'ENS de Lyon - <http://perso.ens-lyon.fr/benoit.capitaine/job/BDD/>.

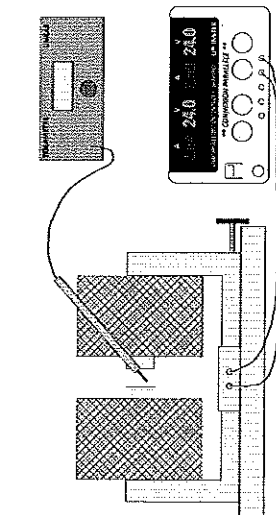


Figure 6. Montage pour l'étude magne de l'électroaimant de laboratoire. Pour pouvoir alimenter l'électroaimant jusqu'à 6 A, bien penser à mettre les deux alimentations de l'alimentation double en parallèle via les boutons sur la façade (ou éventuellement en faisant la liaison à la main avec des fils si vous voulez vous compliquer la vie...). Dans ce cas, il faut impérativement se Brancher sur le bloc mère et non esclave.

1.2 Champs tournants [1, 2]

Matiriel.

Aimant en U : aimant en U, puissance, noix, pinces, aiguille aimantée sur axe.

Champ triphasé : aiguille articulée réglable, alternostat triphasé, baromètre « coup-de-poing », 3 bobines identiques (1000 spires, $L = 17,81 \text{ mH}$, $R = 8,75 \Omega$) avec noyaux, stroboscopie.

Champ monophasé : G.B.E., amplificateur H.F. (HSA 4011), aiguille aimantée sur axe, deux bobines identiques (5000 spires, 0,6 A) avec noyaux, deux capacités chimiques de 47 μF montées en série et de polarités renversées l'une par rapport à l'autre, oscilloscope avec sondes.

On vient de voir comment créer des champs permanents. Mais dans la pratique, la grosse application des champs magnétiques, c'est les machines tournantes, i.e. les moteurs. Le but n'est pas ici de voir comment fabriquer un moteur, cela nous emmènerait trop loin, mais voir qualitativement comment créer un champ magnétique tournant à l'aide de dispositifs simples. Pour visualiser la rotation, on va placer une petite aiguille aimantée dans les lignes de champ.

Définition. On appelle champ magnétique tournant un champ de norme constante dont la direction varie dans un plan avec une vitesse angulaire ω constante soit :

$$\vec{B} = B_0 \cdot (\cos(\omega \cdot t) \cdot \vec{e}_x + \sin(\omega \cdot t) \cdot \vec{e}_y),$$

où ω représente la pulsation du champ tournant.
Commentons par une technique assez naïve. Si on place l'aiguille dans l'entrefer d'un aimant « en U », elle s'aligne suivant l'axe de ce dernier. On pourra donc créer un champ tournant simplement en faisant tourner l'aimant.

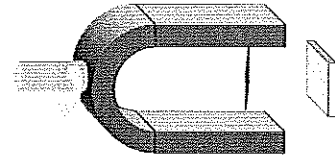


Figure 7. Champ tournant créé par la rotation d'un aimant « en U ».

Néanmoins, cette technique n'a pas vraiment l'intérêt pour créer un moteur puisqu'elle nécessite elle-même l'utilisation d'un moteur pour créer le champ.
Dans l'industrie, on va utiliser mieux à profit le réseau triphasé EDF. On considère trois bobines identiques disposées en étoile et alimentées par les trois phases du réseau EDF.

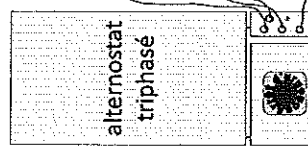


Figure 8. Champ tournant triphasé.

On peut montrer que le champ créé est un champ tournant. Attention ! Ce n'est vrai qu'à l'intersection des axes des trois bobines, c'est pourquoi ce dispositif n'est pas un vrai moteur synchrone. En effet, sur leurs axes respectifs, les bobines créent un champ :

$$\begin{aligned}\vec{B}_1 &= k \cdot i_1 \cdot \vec{e}_1 = k \cdot 1 \cdot \cos(\omega \cdot t) \cdot \vec{e}_x \\ \vec{B}_2 &= k \cdot i_2 \cdot \vec{e}_2 = k \cdot 1 \cdot \cos\left(\omega \cdot t - \frac{2 \cdot \pi}{3}\right) \cdot \left(\cos\left(\frac{2 \cdot \pi}{3}\right) \cdot \vec{e}_x + \sin\left(\frac{2 \cdot \pi}{3}\right) \cdot \vec{e}_y\right) \\ \vec{B}_3 &= k \cdot i_3 \cdot \vec{e}_3 = k \cdot 1 \cdot \cos\left(\omega \cdot t - \frac{4 \cdot \pi}{3}\right) \cdot \left(\cos\left(\frac{4 \cdot \pi}{3}\right) \cdot \vec{e}_x + \sin\left(\frac{4 \cdot \pi}{3}\right) \cdot \vec{e}_y\right),\end{aligned}$$

d'où, tous calculs faits (cf. page 184 [1]), à l'intersection des trois axes :

$$\vec{B} = \frac{3 \cdot k \cdot 1}{2} \cdot (\cos(\omega \cdot t) \cdot \vec{e}_z + \sin(\omega \cdot t) \cdot \vec{e}_y). \quad (3)$$

On a effectivement affaire à un champ tournant. On peut par ailleurs mesurer la fréquence de rotation au stroboscopie. On trouve 50 Hz, la fréquence du signal électrique ; c'est le théorème de Faraday.

Cependant, cette méthode n'est pas encore pleinement satisfaisante. A la maison, on ne dispose que d'une seule phase. Pourtant, on dispose de moteurs (à synchrones (dans les machines à laver par exemple)). Est-il possible de créer un champ tournant avec une seule phase ? C'est ce que nous allons voir avant de passer à la seconde partie de l'exposé.

Intéressons-nous au champ créé par une seule bobine sur son axe.

$$\begin{aligned} \vec{B} &= k \cdot i \cdot \vec{e}_z = k \cdot 1 \cdot \cos(\omega \cdot t) \cdot \vec{e}_z \\ &= \frac{k \cdot 1}{2} \cdot (\cos(\omega \cdot t) \cdot \vec{e}_z + \sin(\omega \cdot t) \cdot \vec{e}_y) + \frac{k \cdot 1}{2} \cdot (\cos(\omega \cdot t) \cdot \vec{e}_z - \sin(\omega \cdot t) \cdot \vec{e}_y). \end{aligned}$$

Le champ se décompose comme la somme de deux champs tournants à la même vitesse angulaire ω mais dans des sens opposés (théorème de Loheland). Si on fait le montage, on remarque que l'aiguille de tourne pas spontanément. Il faut la lancer à la main pour l'accrocher à l'un des deux champs tournants. En revanche, on peut la faire tourner indifféremment dans un sens ou dans l'autre.

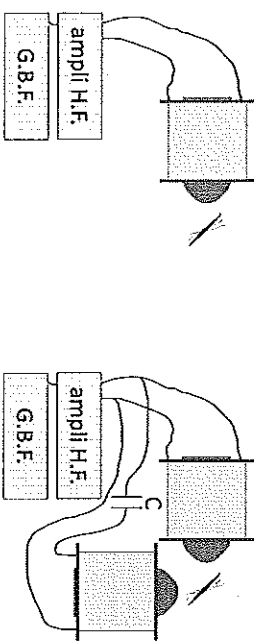


Figure 9. Champ tournant monophasé avec ou sans démarrage autonome.
(a) Sans démarrage autonome.
(b) Avec démarrage autonome.

Du coup, ça n'est pas pratique : il faut lancer le tambour de la machine à laver à la main pour qu'il tourne... on risque de mouiller les pieds. On peut y remédier en créant, transitoirement un champ biphasé. Au croisement des axes, on a :

$$\begin{aligned} \vec{B} &= k \cdot 1 \cdot \cos(\omega \cdot t) \cdot \vec{e}_z + k \cdot 1 \cdot \cos\left(\omega \cdot t - \frac{\pi}{2}\right) \cdot \vec{e}_y \\ &= k \cdot 1 \cdot \cos(\omega \cdot t) \cdot \vec{e}_z - k \cdot 1 \cdot \sin(\omega \cdot t) \cdot \vec{e}_y. \end{aligned}$$

On obtient un champ tournant unique. Il permet donc de lancer l'aiguille aimantée (à basse fréquence). Une fois l'aiguille en mouvement, la deuxième bobine peut être retirée du circuit puisque l'aiguille tourne d'ores et déjà suivant l'un des deux champs vus précédemment. On peut montrer que pour obtenir le bon déphasage, la capacité doit vérifier :

$$C = \frac{L}{L^2 + R^2 + R^2},$$

avec L et R l'inductance propre et la résistance interne de chacune des bobines (cf. page 183 [1]).

2 Mesure de champs magnétiques

2.1 Sonde à effet Hall

Le principe du testamètre que nous avons utilisé jusqu'à présent repose sur l'effet Hall.

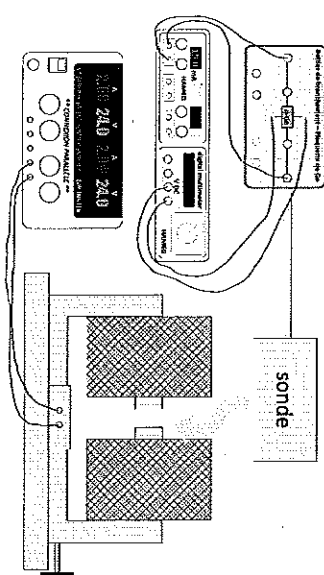


Figure 10. Principe de l'effet Hall.

Expérience. On réalise le montage de la figure 11, la plaquette de germanium est fixée entre les pièces polaires d'un électroaimant (l'entrefer est fixé à 3 cm), la sonde est alimentée avec un générateur de courant continu Hamag à 15 mA. On mesure l'évolution de la tension de Hall en fonction de l'intensité. On fait bien attention à mesurer U_+ et U_- et à faire la moyenne car les soudures de la plaque ne sont pas forcément symétriques de part et d'autre.

En préparation, on a réalisé une droite étalon qui nous donne la correspondance entre la valeur de l'intensité et le champ magnétique, on peut alors tracer directement l'évolution de U_{Hall} avec B .

$I = 2,760 \text{ A}$, $U_+ = -18,10 \text{ V}$, $U_- = 23,61 \text{ V}$

La régression permet de remonter jusqu'à la densité en porteurs de charges ; on trouve : $n = (1,081 \pm 0,001) \cdot 10^{21} \text{ m}^{-3}$. C'est le bon ordre de grandeur attendu.

Remarque. On utilise le testamètre qui fonctionne selon le principe de l'effet Hall pour illustrer l'effet Hall... c'est un choix.

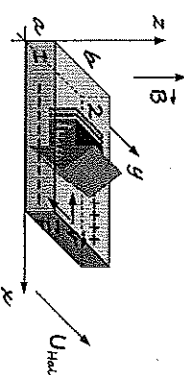


Figure 11. Enfoncement de la sonde à effet Hall; mesure de la densité de porteurs de charge.

Si on considère la plaque de Germanium dopée N de la sonde (cf. fig. 10), elle est soumise à un champ $\vec{B} = B \cdot \vec{e}_z$ uniforme et est parcourue par un courant selon \vec{e}_x . Les porteurs de charges (les électrons ici) se déplacent à la vitesse $v = -v \cdot \vec{e}_x$ et subissent la force de Lorentz $\vec{F}_L = q \cdot \vec{v} \wedge \vec{B} = q \cdot v \cdot B \cdot \vec{e}_y$, ainsi les porteurs de charges sont deviés vers la face avant de la plaque et il y a accumulation de charge, ce qui crée un champ électrique de Hall \vec{E}_H . A l'équilibre : $q \cdot \vec{E}_H + q \cdot \vec{v} \wedge \vec{B} = 0$, or, $\vec{j} = n \cdot q \cdot \vec{v}$ avec n la densité de porteurs d'ou : $\vec{E}_H = -\frac{j \cdot \vec{B}}{n \cdot q} = \frac{B}{n \cdot q} \cdot \vec{e}_y$. Or, $dV = -\vec{E}_H \cdot d \cdot \vec{e}_y$, donc par intégration, on trouve finalement :

$$U_H = \frac{J \cdot B \cdot b}{n \cdot q} = \frac{1 \cdot B}{n \cdot q \cdot a}. \quad (4)$$

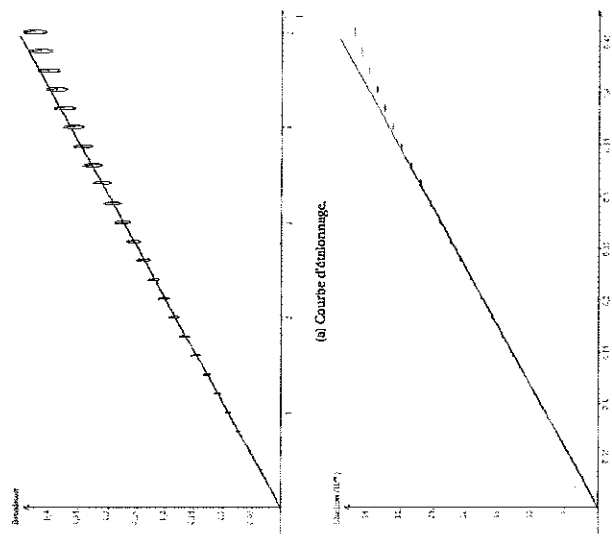


Figure 12. Mesure du champ magnétique par effet Hall.

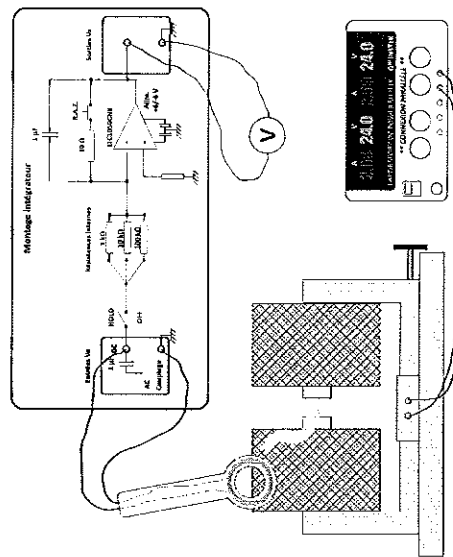


Figure 13. Mesure du flux magnétique lors de la mise sous tension de l'électroaimant.

Expérience. On règle l'offset de l'A.O. à 0, on mesure la tension très rapidement et on en déduit la valeur du champ.

$$B = 100 \text{ kO} \cdot S = 430 \text{ cm}^2, V_s = 92 \text{ mV} \text{ d'où } B = 214 \text{ mT.}$$

Remarque. On a volontairement pris la boîte avec l'intégrateur tout fait car sa dérive temporelle est vraiment plus lente qu'avec un intégrateur classique. Cependant, il faut faire attention, cet A.O. sature à $\pm 6 \text{ V}$.

Expérience. Comparaison avec une mesure au teslamètre.
On trouve une valeur supérieure à celle mesurée au fluxmètre. En effet, le teslamètre mesure un champ local alors que le fluxmètre mesure un champ moyen.

Conclusion

On a vu différentes méthodes pour créer et mesurer des champs magnétiques. On a notamment évoqué leur rôle majeur dans les moteurs, ce qui nécessite une bonne maîtrise de ces champs. Aujourd'hui, ils ont des applications encore plus cruciales, par exemple en médecine avec l'IRM.

$$V_s = \frac{\Delta \Phi}{R \cdot C} = \frac{S \cdot B}{R \cdot C} \quad (5)$$

Le fluxmètre est donc sensible à une variation de flux magnétique.

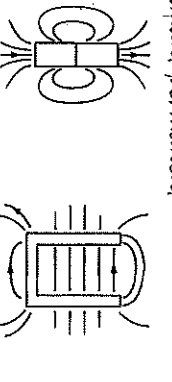
2.2 Fluxmètre

Un seconde façon de mesurer un champ magnétique est d'utiliser un fluxmètre qui est une sonde constituée d'un enroulement de N spires de surface totale $S = N \cdot \text{spire}$. Pour un intégrateur, $V_s = \frac{1}{R \cdot C} \int e(t) \cdot dt$. De plus, la loi de Faraday donne : $e = -\frac{d\Phi}{dt}$, soit finalement :

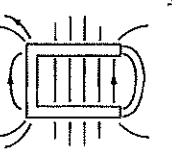
MP 15 - Production et mesure de champs magnétiques

1) Production des champs magnétiques

Alimentation: $\text{U}_{\text{c}} = 220 \text{ V} \cdot \cos(\omega t)$



Aliment permanent



Bobine



Electroaimant

$$B = \frac{\mu_0 \cdot N \cdot I}{l}$$

$$N = 2000 \text{ spires}$$

$I = 0,5 \text{ A}$

$l = 0,5 \text{ cm}$

$B = \text{mT}$

$B = \text{mT}$

$\mu_0 \approx 1,257 \cdot 10^{-6} \text{ H} \cdot \text{m}^{-1}$

$B = \text{mT}$

$\vec{B} = \frac{3}{2} \cdot \frac{k \cdot l \cdot I}{2} \cdot (\cos(\omega t) \cdot \hat{e}_x + \sin(\omega t) \cdot \hat{e}_y)$

Fréquence de rotation: $f = \frac{\omega}{2\pi}$ Hz

Champ tournant monophasé

$$\vec{B} = \frac{k \cdot l}{2} \cdot (\cos(\omega t) \cdot \hat{e}_x + \sin(\omega t) \cdot \hat{e}_y)$$

$$+ \frac{k \cdot l}{2} \cdot (\cos(\omega t) \cdot \hat{e}_x - \sin(\omega t) \cdot \hat{e}_y)$$

Un champ magnétique tournant:

$$\vec{B} = k \cdot l \cdot (\cos(\omega t) \cdot \hat{e}_x - \sin(\omega t) \cdot \hat{e}_y)$$

Champ tournant biphasé

$$\vec{B} = k \cdot l \cdot (\cos(\omega t) \cdot \hat{e}_x + \sin(\omega t) \cdot \hat{e}_y)$$

Un champ magnétique tournant:

$$\vec{B} = B_{\text{max}} \cdot (\cos(\omega t + \phi) \cdot \hat{e}_x + \sin(\omega t + \phi) \cdot \hat{e}_y)$$

w : vitesse angulaire

→ canalisation des lignes de champ

Aimant en U

2) Mesure de champs magnétiques

Alimentation: $U_{\text{c}} = 220 \text{ V} \cdot \cos(\omega t)$

Fréquence de rotation: $f = \frac{\omega}{2\pi}$ Hz

U_H = $\frac{i \cdot B}{n \cdot g \cdot a}$

n : densité de porteurs de charge

i = 15 mA

$\Rightarrow n = \pm 10^3 \text{ m}^{-3}$

g : flux magnétique

$v = 3 \text{ cm}$

$I = 1 \text{ A}$

$U = 10 \text{ V}$

$B = \text{mT}$

$V_v = \frac{\Delta \Phi}{R \cdot C}$

$V_v = \frac{S \cdot B}{R \cdot C}$